

Рассмотрим предел $\omega_0 \rightarrow \infty$: $\xi \rightarrow 1$, в сумме (7) остается только член с $B \begin{pmatrix} 00 \\ 0000 \end{pmatrix} = 1$, т. е.

$$\lim_{\omega_0 \rightarrow \infty} T_{00} = |t(\theta_0)|^2,$$

как и должно быть. Представление (7) позволяет получить критерий плосковолнового приближения для основной моды:

$$B \begin{pmatrix} 00 \\ pqrq \end{pmatrix} \frac{|t_{pq}(\theta_0)|^2}{(k\omega_0)^{2p+2q}} \ll |t(\theta_0)|^2,$$

здесь p, q — наименьшие индексы, для которых p, q -угловая производная от плосковолнового коэффициента передачи отлична от нуля.

В другом предельном случае, когда проницаемость всех слоев тела \mathcal{K} стремится к единице, производные $t_{pq} = \delta_{0p}\delta_{0q}$, $\alpha = \beta = 1$, получаем $T_{00} = 1$.

Полученное представление коэффициента передачи гауссовской волны в виде быстросходящейся квадратичной эрмитовской формы может быть эффективно использовано для исследования параксиальных характеристик электродинамических структур на основе известных плосковолновых параметров как в аналитических расчетах и оценках, так и в численном моделировании и синтезировании различных слоистых устройств.

ЛИТЕРАТУРА

- [1] Kogelnik H., Li T. // Appl. Opt. 1966. 5, N 10. P. 1550. [2] Ооуа Т., Та-теба М., Фукумиту О. // J. Opt. Soc. Am. 1975. 65, N 5. P. 537. [3] Алексеев Ю. К., Пирогов Ю. А. // ЖТФ. 1983. 53, № 4. С. 616. [4] Алексеев Ю. К., Костяненко А. И. // Тез. докл. Всесоюз. науч. семинара «Методы синтеза и применение многослойных интерференционных систем». М., 1984. С. 147.

Поступила в редакцию
18.10.90

ВЕСТН. МОСК. УН-ТА. СЕР. 3, ФИЗИКА. АСТРОНОМИЯ. 1991. Т. 32, № 3

ОПТИКА И СПЕКТРОСКОПИЯ

УДК 535.42

О ВОЗМОЖНОСТИ СИЛЬНОЙ КОМПРЕССИИ ИМПУЛЬСНОГО СИГНАЛА В ЛИНЕЙНОЙ СРЕДЕ С ПРОИЗВОЛЬНОЙ ДИСПЕРСИОННОЙ ХАРАКТЕРИСТИКОЙ

Ю. Е. Дьяков

(кафедра общей физики и волновых процессов)

Предлагается общий метод получения сильного сжатия импульса при любом виде зависимости волнового числа $k(\omega)$ от частоты ω . Подробно рассматривается сжатие супергауссовского импульса в среде с дисперсией n -го порядка.

1. При распространении импульса электрического поля E в линейной диспергирующей среде или системе его длительность меняется, $\Delta\tau = \Delta\tau(z)$. На больших расстояниях ($z \gg L_d$) наступает режим монотонного расплывания импульса, когда

$$\Delta\tau(z)/\Delta\tau(0) \approx z/L_d \quad (1)$$

(рис. 1, кривая 1). Характерная постоянная — дисперсионная длина L_d — зависит от параметров импульса при $z=0$ и дисперсионной характеристики среды, т. е. от того, по какому закону волновое число $k(\omega)$ зависит от частоты ω в пределах спектра импульса (см. выражения (39), (40)). На малых расстояниях ($z \ll L_d$) ход кривой $\Delta\tau(z)$ может быть различным. В частности, при подходящей модуляции импульса происходит его компрессия, т. е. уменьшение длительности: $\Delta\tau_{\min} < \Delta\tau(0)$ (рис. 1, кривая 2). Выясним общие условия получения сильной компрессии ($\Delta\tau_{\min} \ll \Delta\tau(0)$).

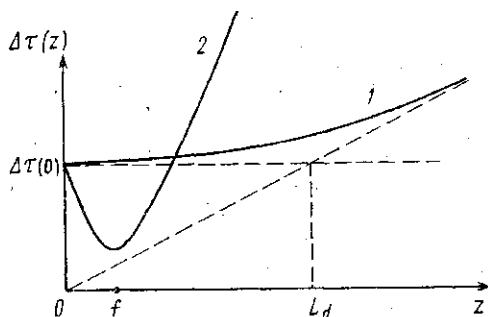


Рис. 1

В опубликованных работах, посвященных компрессии импульсов (см., напр., обзоры в [1, 2]), основное внимание уделяется узкополосным импульсам и системам без дисперсионных потерь ($\text{Im } k(\omega) = 0$) с дисперсией второго и третьего порядка. При этом полагают

$$k(\omega_0 + \omega) = k_0 + k_1\omega + \frac{1}{2!} k_2\omega^2 + \frac{1}{3!} k_3\omega^3,$$

причем положительный эффект (компрессия) связывается только с дисперсией второго порядка, определяемой коэффициентом k_2 (несущая частота ω_0 , ширина спектра $\Delta\omega \sim \omega \ll \omega_0$). В настоящей работе задача рассматривается в более общей постановке: функция $k(\omega)$ считается произвольной, импульс может быть широкополосным ($\Delta\omega \approx \omega_0$), а среда может обладать дисперсионными потерями ($\text{Im } k(\omega) \neq 0$).

2. В случае линейной, однородной и немагнитной среды из уравнений Максвелла $\text{rot } \mathbf{E} = -\frac{1}{c} \frac{\partial \mathbf{H}}{\partial t}$, $\text{rot } \mathbf{H} = \frac{1}{c} \frac{\partial \mathbf{D}}{\partial t}$ следует волновое уравнение $\Delta \mathbf{E} - \frac{1}{c^2} \frac{\partial^2 \mathbf{D}}{\partial t^2} = 0$, в котором электрическая напряженность \mathbf{E} и индукция \mathbf{D} связаны соотношением

$$\mathbf{D}(t, \mathbf{r}) = \mathbf{E}(t, \mathbf{r}) + \int_0^\infty f(\tau) \mathbf{E}(t-\tau, \mathbf{r}) d\tau,$$

где $f(\tau)$ — действительная убывающая функция [3]. Для действительной плоской волны $\mathbf{E}(t, z) = \int \mathbf{E}_0(z) \exp\{i\omega t\} d\omega$, распространяющейся слева направо в области $z \geq 0$, отсюда находим $\mathbf{E}_0(z) \sim \exp\{-ik(\omega)z\}$, где

$$k(\omega) = \frac{\omega}{c} \sqrt{\varepsilon(\omega)}, \quad \varepsilon(\omega) = 1 + \int_0^\infty f(\tau) \exp\{-i\omega\tau\} d\tau.$$

Разделив действительные и мнимые компоненты, получим

$$\varepsilon(\omega) = 1 + \varepsilon_1(\omega) - i\varepsilon_2(\omega), \quad \sqrt{\varepsilon(\omega)} = n(\omega) - i\kappa(\omega), \quad k(\omega) = q_0(\omega) - i\delta_0(\omega),$$

где

$$\begin{aligned} \varepsilon_1(\omega) &= \int_0^{\infty} f(\tau) \cos \omega \tau d\tau, \quad \varepsilon_2(\omega) = \int_0^{\infty} f(\tau) \sin \omega \tau d\tau, \\ n(\omega) &= \frac{1}{\sqrt{2}} \sqrt{1 + \varepsilon_1(\omega) + \sqrt{(1 + \varepsilon_1(\omega))^2 + \varepsilon_2^2(\omega)}}, \\ \kappa(\omega) &= \frac{\varepsilon_2(\omega)}{2n(\omega)} = \frac{1}{\sqrt{2}} \sqrt{-1 - \varepsilon_1(\omega) + \sqrt{(1 + \varepsilon_1(\omega))^2 + \varepsilon_2^2(\omega)}} \operatorname{sgn} \varepsilon_2(\omega), \\ q_0(\omega) &= \frac{\omega}{c} n(\omega) = -q_0(-\omega), \quad \delta_0(\omega) = \frac{\omega}{c} \kappa(\omega) = \delta_0^*(\omega), \end{aligned} \quad (2)$$

(ср. с формулой (83.13) для $\kappa(\omega)$ в [3]).

Таким образом, поле в среде может быть записано в виде интегралов

$$E(t, z) = \int E_{0,\omega} \mathcal{K}(\omega, z) \exp\{i\omega t\} d\omega = \int E_0(\tau) \mathcal{H}(t - \tau, z) d\tau, \quad (3)$$

где

$$\mathcal{K}(\omega, z) = \exp\{-ik(\omega)z\}, \quad \mathcal{H}(t, z) = \frac{1}{2\pi} \int \mathcal{K}(\omega, z) \exp\{i\omega t\} d\omega,$$

$$E(t, z=0) \equiv E_0(t) = \int E_{0,\omega} \exp\{i\omega t\} d\omega, \quad E_{0,\omega}^* = E_{0,-\omega}.$$

Из формулы (3) следует, что идеальную компрессию импульса $E_0(t)$ в произвольном сечении $z=f$ и в произвольный момент времени $t=t_0$ получим, выбрав

$$E_{0,\omega} \equiv M_{0,\omega} = \mathcal{K}^{-1}(\omega, f) \exp\{-i\omega t_0\} = \exp\{ik(\omega)f - i\omega t_0\}. \quad (4)$$

Действительно, подставив (4) в (3), получим, что [4]

$$E(t, f) \sim \delta(t - t_0), \quad \Delta \tau(f) = 0. \quad (5)$$

Естественно предположить, что в случае

$$E_0(t) = E_{in}(t) M_0(t), \quad M_0(t) = \int M_{0,\omega} \exp\{i\omega t\} d\omega \quad (6)$$

результат компрессии будет тем ближе к (5), чем медленнее $E_{in}(t)$ меняется по сравнению с $M_0(t)$, т. е. когда

$$\dot{E}_{in} \ll \dot{M}_0, \quad \dot{E}_0. \quad (7)$$

Таким образом, общую схему компрессии некоторого импульса $E_{in}(t)$ можно представить в виде системы модулятор — диспергирующая среда (рис. 2), в которой реализуется согласованная со средой и

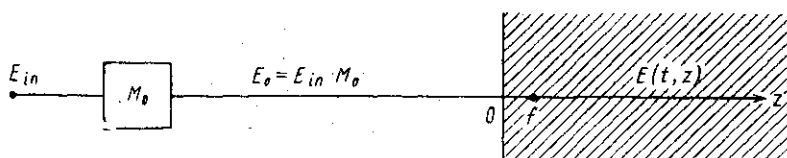


Рис. 2

«фокусным расстоянием» f модуляция $M_0(t)$ (6), причем расстояние f , на котором ожидается максимальная компрессия, должно быть выбрано так, чтобы выполнялось неравенство (7).

3. Поле E , определенное выражениями (3), является решением следующего интегро-дифференциального уравнения:

$$\frac{\partial}{\partial z} E(t, z) = \int_{-\infty}^{\infty} Q(\tau) E(t-\tau, z) d\tau \quad (8)$$

с действительным ядром

$$Q(\tau) = \frac{1}{2\pi i} \int_{-\infty}^{\infty} k(\omega) \exp\{i\omega\tau\} d\omega = \frac{1}{2\pi} \int_{-\infty}^{\infty} [q_0(\omega) \sin \omega\tau - \delta_0(\omega) \cos \omega\tau] d\omega. \quad (9)$$

В слабо диспергирующей среде (например, в газе) функция $\epsilon(\omega)$ мало отличается от единицы и можно положить

$$k(\omega) \approx \frac{\omega}{c} \left[1 + \frac{1}{2} \int_0^{\infty} f(\tau) \exp\{-i\omega\tau\} d\tau \right].$$

Подставив это в (9), получим $Q(\tau) \approx -\delta(\tau)/c + \dot{f}(\tau)/2c$, так что уравнение (8) примет вид

$$\left(\frac{\partial}{\partial z} + \frac{1}{c} \frac{\partial}{\partial t} \right) E(t, z) = \frac{1}{2c} \int_0^{\infty} f(\tau) \dot{E}(t-\tau, z) d\tau.$$

При определенных условиях уравнение (8) можно преобразовать в дифференциальное уравнение в частных производных. Рассмотрим два случая.

Широкополосный импульс. Спектр импульса расположен в области частот $0 < \omega < \Delta\omega$. Если в этой области функцию $k(\omega)$ можно аппроксимировать в виде ряда по степеням ω ,

$$ik(\omega) = iq_0(\omega) + \delta_0(\omega), \quad q_0(\omega) = \sum_{m=1,3,\dots} \frac{\omega^m}{m!} q_{0,m}, \quad \delta_0(\omega) = \sum_{m=2,4,\dots} \frac{\omega^m}{m!} \delta_{0,m}, \quad (10)$$

то, подставив (10) в вытекающее из (3) соотношение

$$\frac{\partial}{\partial z} E = -i \int k(\omega) E_{0,\omega} \mathcal{K}(\omega, z) \exp\{i\omega t\} d\omega,$$

получим дифференциальное уравнение

$$\frac{\partial}{\partial z} E = \left[i \sum_{m=1,3,\dots} \frac{q_{0,m}}{m!} + \sum_{m=2,4,\dots} \frac{\delta_{0,m}}{m!} \right] \left(\frac{\partial}{i\partial t} \right)^m E$$

или

$$\frac{\partial}{\partial z} E = \left[i \sum_{m=3,5,\dots} \frac{q_{0,m}}{m!} + \sum_{m=2,4,\dots} \frac{\delta_{0,m}}{m!} \right] \left(\frac{\partial}{i\partial \theta} \right)^m E, \quad (11)$$

где $\theta = t - z/u_0$, $u_0 = q_{0,1}^{-1} = c \left[1 + \int_0^\infty f(\tau) d\tau \right]^{-1}$ — групповая скорость при $\omega = 0$. Этот же результат можно получить непосредственно из (8), разлагая $E(t - \tau, z)$ в ряд по τ и учитывая, что

$$\int_{-\infty}^{\infty} Q(\tau) \exp\{-i\omega\tau\} \tau^m d\tau = \frac{(-1)^m}{i^{m+1}} \left(\frac{\partial}{\partial\omega} \right)^m k(\omega), \quad (m = 0, 1, 2, \dots).$$

Уравнение (11) показывает, что в среде без потерь в рассматриваемом случае может проявляться лишь дисперсия нечетных порядков (третьего, пятого и т. д.).

Узкополосный импульс. В этом случае

$$E(t, z) = \exp\{i\omega_0 t - ik(\omega_0)z\} A(t, z) + \text{к. с.}$$

и задача сводится к определению медленно изменяющейся комплексной амплитуды A ($\dot{A} \ll \omega_0 A$). Рассуждая, как в предыдущем случае, найдем

$$\begin{aligned} A &= \int A_{0,\omega} K_0(\omega, z) \exp\{i\omega t\} d\omega = \int A_0(\tau) H_0(t - \tau, z) d\tau = \\ &= \int A_{0,\omega} K(\omega, z) \exp\{i\omega\theta\} d\omega = \int A_0(\tau) H_0(\theta - \tau, z) d\tau, \end{aligned} \quad (12)$$

$$\begin{aligned} \frac{\partial A}{\partial z} &= \int Q(\tau) \exp\{-i\omega_0\tau\} [A(t - \tau, z) - A(t, z)] d\tau = \\ &= -i \sum_{m=1}^{\infty} \frac{k_m}{m!} \left(\frac{\partial}{\partial t} \right)^m A = - \left[i \sum_{m=2}^{\infty} \frac{q_m}{m!} + \sum_{m=1}^{\infty} \frac{\delta_m}{m!} \right] \left(\frac{\partial}{\partial\theta} \right)^m A. \end{aligned} \quad (13)$$

Здесь

$$A(t, z=0) \equiv A_0(t) = \int A_{0,\omega} \exp\{i\omega t\} d\omega, \quad (14)$$

$$K_0(\omega, z) = \exp\{-i\Delta_0(\omega)z\}, \quad H_0(t, z) = \frac{1}{2\pi} \int K_0(\omega, z) \exp\{i\omega t\} d\omega,$$

$$\Delta_0(\omega) = k(\omega_0 - \omega) - k(\omega_0), \quad k_m = \left(\frac{\partial}{\partial\omega_0} \right)^m k(\omega_0) = q_m - i\delta_m,$$

$$\Delta(\omega) = \Delta_0(\omega) - q_1\omega = q(\omega) - i\delta(\omega), \quad (15)$$

$$q(\omega) = \sum_{m=2}^{\infty} \frac{\omega^m}{m!} q_m, \quad \delta(\omega) = \sum_{m=1}^{\infty} \frac{\omega^m}{m!} \delta_m,$$

$$K(\omega, z) = \exp\{-i\Delta(\omega)z\}, \quad H(\theta, z) = \frac{1}{2\pi} \int K(\omega, z) \exp\{i\omega\theta\} d\omega, \quad (16)$$

$\theta = t - z/u$, $u = q_1^{-1}$ — групповая скорость на частоте ω_0 ; $\Delta_0(\omega)$, $\Delta(\omega)$, k_m — комплексны, $q(\omega)$, $\delta(\omega)$, q_m , δ_m — действительны. Для сред без потерь уравнение (13) совпадает с уравнениями для A , приведенными в [4, 5], но отличается коэффициентами от уравнения (1.1.10) в [1].

4. Рассмотрим подробнее случай узкополосного импульса, предполагая для простоты, что потери в среде отсутствуют. Оптимальная схема компрессии (рис. 2) в этом случае принимает вид, показанный

на рис. 3, где входной импульс с амплитудой $A_{in}(t)$ пропускается сначала через устройство, модулирующее $A_{in}(t)$ по закону

$$M(t) = \int M_{\omega} \exp\{i\omega t\} d\omega, \quad M_{\omega} = \exp\{iq_{\omega}f\}, \quad (17)$$

а затем через отрезок $0 < z < f$ среды с дисперсионной характеристикой $q(\omega)$ произвольного вида (рис. 3). Длину f следует выбрать достаточно малой, чтобы выполнялись неравенства, аналогичные (7):

$$\dot{A}_{in} \ll M, \quad \dot{A}_0. \quad (18)$$

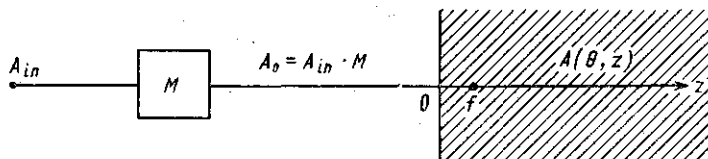


Рис. 3

Рассмотрим действие схемы на рис. 3. На выходе модулятора

$$A_{0,\omega} = \int M_{\omega-\omega_1} A_{in,\omega_1} d\omega_1, \quad (19)$$

где согласно (18) функция M_{ω} может считаться медленной, а функция $A_{in,\omega}$ — быстрой. Соответственно, полагая

$$M_{\omega-\omega_1} = \exp\{iq(\omega-\omega_1)f\} \approx \exp\{iq(\omega)f - iq'(\omega)f\omega_1\}$$

(здесь и ниже штрих означает дифференцирование по ω), получим

$$A_{0,\omega} \approx M_{\omega} A_{in}(\tau_{\omega}), \quad \tau_{\omega} = -q'(\omega)f. \quad (20)$$

Подставив (20) в (12), получим амплитуду импульса на выходе системы в виде следующего интеграла Фурье:

$$A(\theta, z) = \int A_{\omega} \exp\{i\omega\theta\} d\omega, \quad A_{\omega} = A_{in}(\tau_{\omega}) \exp\{iq(\omega)(f-z)\}. \quad (21)$$

Среднеквадратичную длительность $\Delta\tau_{rms} = [\langle\tau^2\rangle - \langle\tau\rangle^2]^{1/2}$ импульса (2) найдем, используя частотное представление для $\langle\tau\rangle$ и $\langle\tau^2\rangle$ [6, 7]:

$$\langle\tau\rangle = 2\pi i U^{-1} \int A'_{\omega} A_{\omega}^* d\omega, \quad \langle\tau^2\rangle = 2\pi U^{-1} \int |A'_{\omega}|^2 d\omega. \quad (22)$$

Получим

$$\langle\tau\rangle = 2\pi i U_0^{-1} \int [A'_{in}(\tau_{\omega}) - i\tau_{\omega}(1-z/f) A_{in}(\tau_{\omega})] A_{in}^*(\tau_{\omega}) d\omega, \quad (23)$$

$$\langle\tau^2\rangle = 2\pi U_0^{-1} \int |A'_{in}(\tau_{\omega}) - i\tau_{\omega}(1-z/f) A_{in}(\tau_{\omega})|^2 d\omega,$$

где $U_0 = 2\pi \int |A_{\omega}|^2 d\omega = 2\pi \int |A_{in}(\tau_{\omega})|^2 d\omega$ — энергия импульса на выходе модулятора.

5. Для количественной оценки степени компрессии импульса, получаемой в схеме на рис. 3, предположим, что входной импульс явля-

ется супергауссовским с «коэффициентом прямоугольности» m , а среда имеет дисперсию n -го порядка:

$$A_{in}(t) = \exp \left\{ -\frac{1}{2} (t/\tau_0)^{2m} \right\}, \quad q(\omega) = \frac{\omega^n}{n!} q_n \quad (24)$$

($m=1, 2, \dots$; $n=2, 3, \dots$). В этом случае

$$U_{in} = \frac{\tau_0}{m} \Gamma \left(\frac{1}{2m} \right), \quad \Delta\tau_{in} = \tau_0 \left[\Gamma \left(\frac{3}{2m} \right) / \Gamma \left(\frac{1}{2m} \right) \right]^{1/2},$$

$$\Delta\omega_{in} = \frac{m}{\tau_0} \left[\Gamma \left(2 - \frac{1}{2m} \right) / \Gamma \left(\frac{1}{2m} \right) \right]^{1/2}, \quad (25)$$

где $\Gamma(x)$ — гамма-функция, а среднеквадратичная ширина спектра $\Delta\omega = [\langle\omega^2\rangle - \langle\omega\rangle^2]^{1/2}$ вычислена по «временным» формулам [6, 7]

$$\langle\omega\rangle = 2\pi U^{-1} \int \omega |A_\omega|^2 d\omega = -iU^{-1} \int \dot{A} A^* dt, \quad (26)$$

$$\langle\omega^2\rangle = 2\pi U^{-1} \int \omega^2 |A_\omega|^2 d\omega = U^{-1} \int |\dot{A}|^2 dt.$$

Соотношения (22) и (26) могут быть обобщены:

$$\langle\tau^s\rangle = \frac{1}{U} \int t^s |A|^2 dt = \begin{cases} 2\pi U^{-1} \int |A_\omega^{(s/2)}|^2 d\omega, & (s \text{ — четное}) \\ 2\pi i U^{-1} \int A_\omega^{*(\frac{s-1}{2})} A_\omega^{(\frac{s+1}{2})} d\omega, & (s \text{ — нечетное}) \end{cases} \quad (27)$$

$$\langle\omega^s\rangle = \frac{2\pi}{U} \int \omega^s |A_\omega|^2 d\omega = \begin{cases} U^{-1} \int |A^{(\frac{s}{2})}|^2 dt, & (s \text{ — четное}) \\ iU^{-1} \int A^{(\frac{s-1}{2})} A^{*(\frac{s+1}{2})} dt, & (s \text{ — нечетное}) \end{cases}$$

Согласно (20) и (24) в рассматриваемом случае

$$\tau_\omega = -\frac{f\omega^{n-1}}{(n-1)!} q_n f, \quad A_{in}(\tau_\omega) = \exp \left\{ -\frac{1}{2} (\varepsilon\tau_0\omega)^{2p} \right\}, \quad (28)$$

где

$$\rho = m(n-1) \geq m, \quad \varepsilon = (f/l_d)^{\frac{1}{n-1}}, \quad l_a = \frac{\tau_0^n (n-1)!}{q_n}. \quad (29)$$

Параметр l_d , имеющий размерность длины, по порядку величины совпадает с дисперсионной длиной L_d . Как следует из (20), (21) и (28), энергия и ширина спектра импульса при распространении остаются постоянными:

$$U = U_0 = \frac{2\pi\Gamma\left(\frac{1}{2p}\right)}{\rho\tau_0^\rho}, \quad \Delta\omega = \Delta\omega_0 = \frac{1}{\varepsilon\tau_0} \left[\Gamma\left(\frac{3}{2p}\right) / \Gamma\left(\frac{1}{2p}\right) \right]^{1/2}. \quad (30)$$

Характеризуя коэффициентом B относительное расширение спектра импульса модулятором, получим

$$B = \frac{\Delta\omega_0}{\Delta\omega_{in}} = \frac{C_1}{\varepsilon}, \quad C_1 = C_{m,p}^{\text{эпг}} = \frac{1}{m} \left[\frac{\Gamma\left(\frac{1}{2m}\right)\Gamma\left(\frac{3}{2p}\right)}{\Gamma\left(2 - \frac{1}{2m}\right)\Gamma\left(\frac{1}{2p}\right)} \right]^{1/2} \approx \sqrt{\frac{3}{2m}}. \quad (31)$$

В рассматриваемой схеме минимальное значение $\Delta\tau$ ожидается при $z \approx f$. Подставив в (23) выражение (28) для $A_{in}(\tau_\omega)$, а также $A'_{in}(\tau_\omega) = -(\epsilon\tau_\omega)^{2p} \rho\omega^{2p-1} A_{in}(\tau_\omega)$ и $z = f$, получим $\langle\tau\rangle_f = 0$,

$$\Delta\tau(f) = \tau_0 \epsilon \rho \left[\Gamma\left(2 - \frac{1}{2p}\right) / \Gamma\left(\frac{1}{2p}\right) \right]^{1/2}. \quad (32)$$

Таким образом, коэффициент компрессии N в фокусе равен

$$N = \frac{\Delta\tau_{in}}{\Delta\tau(f)} = \frac{C_2}{\epsilon}, \quad C_2 = C_{p,m} \approx \sqrt{\frac{3}{2p}}. \quad (33)$$

Этот результат показывает, что в схеме на рис. 3 в принципе может быть достигнута сколь угодно сильная компрессия, $N \gg 1$, если выполнено условие $\epsilon \ll 1$, т. е. «временная линза» $M(t)$ достаточно «короткофокусная»: $f = l_d \left(\frac{C_2}{N}\right)^{n-1} \ll l_d$. При этом расширение спектра равно или превышает степень компрессии, $B \approx \sqrt{n-1} N$ и, при прочих равных условиях, отношение f/l_d уменьшается с ростом n .

6. При распространении узкополосного импульса в диспергирующей среде без потерь его среднеквадратичная длительность зависит от z по универсальному закону [5]

$$\Delta\tau(z) = (B_0 + B_1 z + B_2 z^2)^{1/2} \quad (34)$$

независимо от формы и модуляции импульса и дисперсионных свойств среды, влияющих лишь на величину коэффициентов B_i . В работе [5] постоянные B_i определялись, исходя из уравнения (13) и были выражены через $A_0(t)$. Приведем более простой и общий вывод формулы (34) в частотном представлении. При этом не требуется, например, выражать дисперсионную характеристику $q(\omega)$ в виде ряда по ω .

Согласно (12), (15) и (16) при $\delta(\omega) = 0$

$$A(\theta, z) = \int A_\omega \exp\{i\omega\theta\} d\omega, \quad A_\omega = A_{0,\omega} \exp\{-iq(\omega)z\}. \quad (35)$$

Подставив (35) в (22), находим

$$\langle\tau\rangle_z = 2\pi i U_0^{-1} \int (A'_{0,\omega} - iq'(\omega)z A_{0,\omega}) A_{0,\omega}^* d\omega = A_{10} + A_{11}z, \quad (36)$$

$$\langle\tau^2\rangle_z = 2\pi U_0^{-1} \int |A'_{0,\omega} - iq'(\omega)z A_{0,\omega}|^2 d\omega = A_{20} + A_{21}z + A_{22}z^2,$$

где

$$\begin{aligned} \langle A_{10} \rangle &= \langle\tau\rangle_0, \quad A_{11} = \langle q'(\omega) \rangle, \quad A_{20} = \langle\tau^2\rangle_0, \\ A_{21} &= i \cdot 2\pi U_0^{-1} \int [q'(\omega) A_{0,\omega}^* A'_{0,\omega} - \text{к. с.}] d\omega, \quad A_{22} = \langle q'(\omega)^2 \rangle. \end{aligned} \quad (37)$$

Таким образом, в (34)

$$B_0 = A_{20} - A_{10}^2, \quad B_1 = A_{21} - 2A_{10}A_{11}, \quad B_2 = A_{22} - A_{11}^2. \quad (38)$$

В этом выводе нетрудно учесть и дисперсионные потери, что приводит, вообще говоря, к зависимости B_i от z .

Как следует из (34) и (37), в (1)

$$L_d = \frac{\Delta\tau(0)}{\sqrt{B_2}} = \frac{\Delta\tau(0)}{[\langle q'(\omega)^2 \rangle - \langle q'(\omega) \rangle^2]^{1/2}}, \quad C = \frac{B_1}{\sqrt{B_0 B_2}}. \quad (39)$$

В случае (24) $q'(\omega) = \frac{\omega^{n-1}}{(n-1)!} q_n$ и согласно (39)

$$L_d = \frac{(n-1)! \Delta\tau(0)}{q_n} \frac{1}{[\langle \omega^{2n-2} \rangle - \langle \omega^{n-1} \rangle^2]^{1/2}}, \quad (40)$$

где приблизительно

$$[\langle \omega^{2n-2} \rangle - \langle \omega^{n-1} \rangle^2]^{1/2} \sim \Delta\omega_0^{n-1}.$$

ЛИТЕРАТУРА

- [1] Ахманов С. А., Выслоух В. А., Чиркин А. С. Оптика фемтосекундных лазерных импульсов. М., 1988. [2] Johnson A. M., Shank C. V. // Ultrafast Supercontinuum Laser Source/Ed. by R. R. Alfano. Berlin: Springer-Verlag, 1989. [3] Ландау Л. Д., Лифшиц Е. М. Электродинамика сплошных сред. М., 1982. [4] Дьяков Ю. Е., Никитин С. Ю. Задачи по статистической радиофизике и оптике. М., 1985. [5] Anderson D., Lisak M. // Phys. Rev. 1987. A35, N 1. P. 184. [6] Дьяков Ю. Е. // Лазеры в народном хозяйстве (Материалы семинара. Общество «Знание» РСФСР). М., 1990. С. 130. [7] Дьяков Ю. Е. // Вестн. Моск. ун-та. Физ. Астрон. 1991. 32, № 2. С. 53.

Поступила в редакцию
23.11.90

ВЕСТН. МОСК. УН-ТА. СЕР. 3, ФИЗИКА. АСТРОНОМИЯ. 1991. Т. 32, № 3

УДК 621.373.826

ОПРЕДЕЛЕНИЕ НАСЕЛЕННОСТЕЙ РАБОЧИХ УРОВНЕЙ В ДЛИННОВОЛНОВОМ СО₂-ГАЗОДИНАМИЧЕСКОМ ЛАЗЕРЕ С МОДУЛЯЦИЕЙ ДОБРОТНОСТИ

А. Н. Баранов, О. И. Иванова, А. И. Одинцов, А. И. Федосеев

(кафедра оптики и спектроскопии)

Показана возможность диагностики населенностей колебательных уровней в активной среде СО₂-газодинамического лазера на связанных модах по энергетическим характеристикам импульсной генерации в режиме модуляции добротности. Приводятся расчетные соотношения для определения начальной разности населенностей лазерных уровней по данным измерений. Эксперименты выполнены на переходах 03⁰—10⁰ ($\lambda=18,4$ мкм) и 04²—03⁰ ($\lambda=17,2$ мкм) в смеси СО₂—Аг. Одним из преимуществ метода является то, что режим модуляции добротности позволяет исключить взаимодействия колебательных переходов в процессе генерации.

Введение

Газодинамические лазеры (ГДЛ) на связанных модах молекул СО₂ представляют интерес как источники мощного когерентного излучения в области длин волн $\lambda=16-21$ мкм [1, 2]. Расчетам их характеристик посвящен ряд теоретических работ [3-5], однако экспериментально эти лазеры исследованы недостаточно [1, 4, 6, 7]. В настоящей работе сделана попытка получения экспериментальной информации о населенностях колебательных уровней и коэффициентах усиления переходов в лазере такого типа по спектрально-энергетическим характеристикам его генерации в режиме модуляции добротности (МД).